



БИООРГАНИЧЕСКАЯ ХИМИЯ

том 13 * № 9 * 1987

УДК 577.152.611*20.042

ВЛИЯНИЕ ДИАДЕНОЗИНОЛИГОФОСФАТОВ (Ap_4A И Ap_3A) И ИХ ФОСФОНАТНЫХ АНАЛОГОВ НА КАТАЛИТИЧЕСКИЕ ФУНКЦИИ ФЕНИЛАЛАНИЛ-тРНК-СИНТЕТАЗЫ ИЗ *E. coli*

Бирюков А. П., Захарова О. Д.*, Лаврик О. И.*

Институт молекулярной биологии Академии наук СССР, Москва;

* Новосибирский институт биоорганической химии Сибирского
отделения Академии наук СССР

Исследовано влияние P^1,P^3 -бис(5'-аденозил)трифосфата (Ap_3A), P^1,P^4 -бис(5'-адено-
зил)тетрафосфата (Ap_4A) и фосфонатных аналогов Ap_4A , содержащих остаток
метилендиfosfonовой кислоты в различных положениях полифосфатной цепи, на
реакции обмена АТР — [^{32}P]PP_i и аминоацилирования тРНК, катализируемые фе-
нилаланил-тРНК-сингетазой из *E. coli* MRE-600. Ap_3A и Ap_4A , а также их фосфонат-
ные аналоги не оказывали заметного влияния на скорость обмена АТР — [^{32}P]PP_i
и не поддерживали его в отсутствие АТР. Диаденозинолигофосфаты ингибировали
аминоацилирование тРНК фенилаланином неконкурентно по отношению к АТР
(K_i для Ap_4A равна 1,45 мМ). Наблюдалось ингибирование фосфонатными аналогами
 Ap_4A синтеза Ap_3A , зависящее от структуры аналогов. Сделан вывод об отсут-
ствии эффективного взаимодействия фенилаланил-тРНК-сингетазы из *E. coli* с Ap_4A
и его фосфонатными аналогами.

Ряд аминоацил-тРНК-сингетаз (КФ 6.1.1.x) из различных источников способен эффективно синтезировать диаденозинолигофосфаты: P^1,P^3 -бис-(5'-аденозил)трифосфат и P^1,P^4 -бис(5'-аденозил)тетрафосфат (Ap_3A и Ap_4A соответственно) [1]. Синтез Ap_3A и Ap_4A осуществляется с участием аминоациладенината, промежуточного соединения реакции аминоацилирования тРНК, путем переноса активированного в нем остатка AMP на ADP либо на АТР. Реакции синтеза диаденозинолигофосфатов стимулируются ионами Zn^{2+} [1–3].

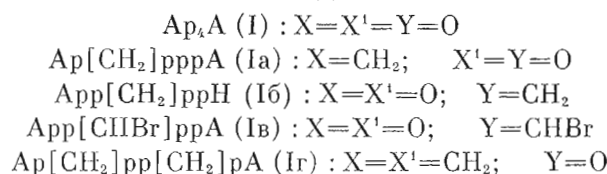
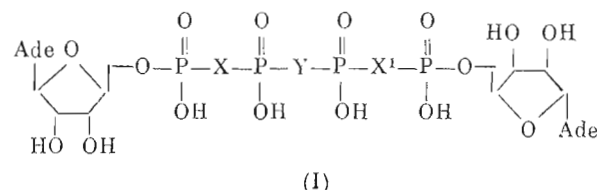
Как полагают, диаденозинолигофосфаты могут выполнять роль клеточных регуляторов. Основанием для таких предположений служит ряд экспериментальных данных. Уровень Ap_4A в клетках варьирует в зависимости от пролиферативной активности тканей [4] или клеточного цикла [5]. Ap_4A может участвовать в качестве праймера в синтезе ДНК [4]. Стимуляция синтеза ДНК наблюдается при инъекции Ap_4A в ооциты *Xenopus laevis* [6]. Ap_3A и Ap_4A накапливаются в клетках, находящихся в состоянии стресса [7, 8].

Согласно работе [9], Ap_4A обладает достаточно высоким сродством к лизил-тРНК-сингетазе ($K_i = 2,5$ мКМ) и является ингибитором реакции аминоацилирования тРНК^{Lys}, конкурентным по отношению к АТР. Лизил-тРНК-сингетаза относится к типу аминоацил-тРНК-сингетаз, способных катализировать синтез Ap_4A и Ap_3A .

Поскольку фенилаланил-тРНК-сингетаза из *E. coli* также относится к ферментам, катализирующими в определенных условиях синтез Ap_4A и Ap_3A , представляется интересным проанализировать влияние этих соединений как на основные каталитические функции этого фермента, так и на синтез с его помощью диаденозинолигофосфатов. При участии последних, возможно, осуществляется регуляция активности аминоацил-тРНК-сингетаз, которые выполняют также роль Ap_4A -связывающих белков.

Динуклеозидолигофосфаты являются метаболически нестабильными соединениями и могут расщепляться специфическими ферментами по фосфоангидридным связям между атомами P^1 и P^2 либо P^2 и P^3 [10]. По-видимому, именно поэтому внутриклеточная концентрация Ap_3A

и Ap₄A неустойчива и довольно низка (0,01–20 мкМ) [11]. Для изучения биологической роли динуклеозидолигофосфатов перспективно применение таких их аналогов, фосфоангиридидные связи и полифосфатные цепи которых устойчивы к ферментативному гидролизу. В качестве подобных соединений могут быть предложены фосфонатные аналоги Ap₄A (I), синтез которых опубликован недавно [12, 13].



В настоящей работе изучено влияние этих соединений, а также Ap₄A и Ap₃A на реакции активации фенилаланина, аминоацилирования тРНК^{Phe} и синтеза диаденозинолигофосфатов, катализируемые фенилаланил-тРНК-синтетазой (КФ 6.1.1.20) из *E. coli* MRE-600.

В реакции активации фенилаланина Ap₃A и Ap₄A в концентрации 1 мМ не оказывали заметного действия на скорость обмена АТР – [³²P]PP_i и не поддерживали его в отсутствие АТР. Аналоги Ap₄A (табл. 1), за исключением соединения (Iг), в той же концентрации практически не влияли на глубину обмена АТР – [³²P]PP_i. С аналогом (Iг) наблюдалось определенное увеличение скорости обмена АТР – [³²P]PP_i. Отсутствие сродства фермента к Ap₃A и Ap₄A и его аналогом может быть вызвано рядом причин, обсуждаемых ниже. Однако это, вероятно, не связано с наличием высокой концентрации к реакционной смеси PP_i и АТР, поскольку уменьшение концентрации PP_i на 2 порядка, а АТР наполовину не вызывали влияния Ap₄A и его аналогов на реакцию обмена. Полученные данные свидетельствуют об отсутствии конкуренции аналогов за места связывания на ферменте PP_i и АТР.

Как известно, фенилаланил-тРНК-синтетаза относится к группе синтетаз, способных катализировать обмен АТР – [³²P]PP_i в отсутствие тРНК, в отличие от других синтетаз, катализирующих эту реакцию только в присутствии тРНК. В то же время не исключено влияние тРНК как аллостерического эффектора на взаимодействие аминоацил-тРНК-синтетаз с субстратами и ингибиторами реакции активации аминокислоты. В нашем случае добавление тРНК (2 мг/мл) не приводило к изменению скорости реакции обмена АТР – [³²P]PP_i и не вызывало ингибирования этой реакции как диаденозинолигофосфатами, так и фосфонатными аналогами Ap₄A (I).

В реакции аминоацилирования тРНК^{Phe} диаденозинолигофосфаты не заменяли АТР, но снижали скорость аминоацилирования вдвое при концентрации 1 мМ. При этом было показано, что Ap₄A является неконкурентным ингибитором реакции по отношению к АТР. Аналогичные результаты получены и с аналогами (I). Неконкурентный тип торможения (рис. 1) и довольно низкое сродство (K_1 для Ap₄A = 1,45 мМ) могут быть объяснены тем, что Ap₄A и его фосфонатные аналоги взаимодействуют с ферментом скорее всего в участке, отличающемся от центра связывания АТР. Вместе с тем не исключена конкуренция с тРНК, особенно при высоких концентрациях аналогов. Полученные результаты не согласуются с данными для лизил-тРНК-синтетазы, поскольку в этом случае было обнаружено достаточно высокое сродство Ap₄A к ферменту (см. выше) и конкурентный в отношении АТР характер торможения реакции аминоацилирования тРНК [9].

Таблица I

Влияние Ap_3A , Ap_4A и его аналогов на начальную скорость реакции обмена АТР – [^{32}P]РР, катализируемый фенилаланил-тРНК-синтетазой из *E. coli* MRE-600

Соединения	Активность фермента *, % относительно контроля при концентрации соединений	
	0,5 мМ	1 мМ
Ap_3A	100	95
Ap_4A	100	90
$\text{App}[\text{CH}_2]\text{ppA}$	100	80
$\text{App}[\text{CHBr}]\text{ppA}$	100	78
$\text{Ap}[\text{CH}_2]\text{pp}[\text{CH}_2]\text{pA}$	300	135
$\text{Ap}[\text{CH}_2]\text{pppA}$	100	85

* Средняя величина из четырех опытов.

Таблица 2

Влияние аналогов Ap_4A на синтез Ap_3A , катализируемый фенилаланил-тРНК-синтетазой из *E. coli* MRE-600

Соединения (концентрация 5 мМ)	Активность фермента *, % относительно контроля
$\text{App}[\text{CH}_2]\text{ppA}$	33
$\text{App}[\text{CHBr}]\text{ppA}$	78
$\text{Ap}[\text{CH}_2]\text{pppA}$	90
$\text{Ap}[\text{CH}_2]\text{pp}[\text{CH}_2]\text{pA}$	120

* Средняя величина из трех опытов.

Как уже указывалось выше, ряд аминоацил-тРНК-синтетаз, в том числе фенилаланил-тРНК-синтетаза, особенно эффективно катализирует образование Ap_3A и Ap_4A в присутствии ионов цинка и пирофосфаты. Достоверно показано, что механизм образования диаденозинолигофосфатов включает взаимодействие аминоацилденилата с АТР либо ADP [14, 15]. Однако для лизил-тРНК-синтетазы из печени крыс выявлена возможность синтеза Ap_4A в отсутствие лизина, но в присутствии AMP [9]. Возможность подобного пути образования диаденозинолигофосфатов была нами проверена для фенилаланил-тРНК-синтетазы. Оказалось, что в отсутствие фенилаланина ферментативный синтез Ap_3A и Ap_4A практически отсутствовал, что свидетельствует в пользу обязательности образования фенилаланилденилата при ферментативном синтезе диаденозинолигофосфатов в этой системе.

Ферментативный синтез диаденозинолигофосфатов обычно проводят в присутствии ионов цинка. В связи с этим нам казалось целесообразным уточнить влияние ZnCl_2 на синтез Ap_4A и Ap_3A , катализируемый фенилаланил-тРНК-синтетазой. Оказалось (рис. 2), что максимальная скорость синтеза Ap_4A достигается при 40 мкМ ZnCl_2 , но с повышением концентрации ZnCl_2 скорость образования Ap_4A понижается. Подобный эффект обнаружен ранее при исследовании дрожжевой фенилаланил-тРНК-синтетазы [16]. Синтез Ap_3A был более интенсивным и оставался практически на одном уровне в концентрационном интервале 50–150 мкМ ZnCl_2 . Эти особенности синтеза диаденозинолигофосфатов отличают изучаемый нами фермент от других аминоацил-тРНК-синтетаз. Так, лизил-тРНК-синтетаза из *E. coli* катализировала образование меньшего количества Ap_3A по сравнению с Ap_4A в аналогичных условиях [1], а стимулирующий эффект ZnCl_2 на синтез Ap_4A , катализируемый аланил-тРНК-синтетазой из того же источника, наблюдался вплоть до концентрации 400 мкМ [2].

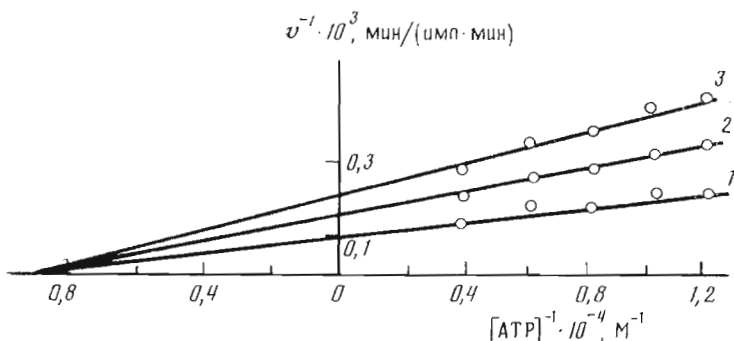


Рис. 1. Зависимость скорости аминоацилирования тРНК^{Phe}, катализируемой фенилаланил-тРНК-синтетазой из *E. coli* MRE-600, от концентрации АТР при различных концентрациях АР₄А, в обратных координатах, в отсутствие АР₄А (1) и в присутствии АР₄А в концентрации 0,5 мМ (2) и 1 мМ (3)

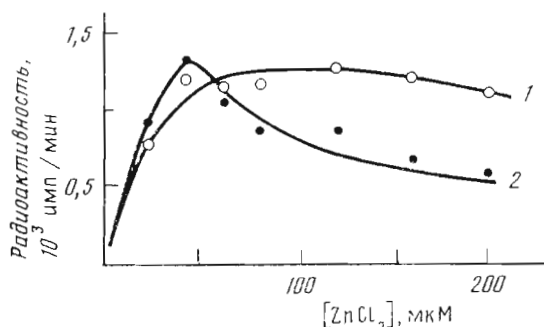


Рис. 2. Зависимость синтеза АР₃А (1) и АР₄А (2), катализируемого фенилаланил-тРНК-синтетазой из *E. coli* MRE-600, от концентрации ZnCl₂

Значительный синтез АР₃А, катализируемый фенилаланил-тРНК-синтетазой из *E. coli* MRE-600, позволил предполагать возможное участие этого фермента, как и лизил-тРНК-синтетазы [7], в накоплении диаденоциниолигофосфатов в клетках *E. coli*, находящихся в состоянии стресса, в частности при тепловом шоке. Этую возможность мы проверили экспериментально, и оказалось, что при 50°С ферментативный синтез АР₃А и АР₄А вообще отсутствует, хотя аминоацилирование тРНК^{Phe} оставалось на том же уровне, что и при 37°С.

Исследование влияния фосфонатных аналогов АР₄А (1) на ферментативный синтез диаденоциниолигофосфатов показало, что уровень образования АР₄А не зависит от присутствия в среде аналогов (1) и остается постоянным. В то же время уровень синтеза АР₃А зависит от добавления аналогов (1) в реакционную среду и их строения. Наибольший эффект ингибирования синтеза АР₃А достигается в присутствии соединения (Iб) с симметричным расположением CH₂-группы в олигофосфатной цепи (табл. 2). Введение в CH₂-группу галонда (Iв) или изменение ее положения (соединения Iа и Iг) соответственно приводило к снижению ингибирующего действия аналога. Интересно, что соединение (Iг) стимулирует как обмен АТР — [³²P]PP_i, так и процесс образования АР₃А.

Из полученных данных следует, что АР₄А и АР₃А, а также их фосфонатные аналоги слабо взаимодействуют с фенилаланил-тРНК-синтетазой как в реакциях пирофосфатного обмена и аминоацилирования тРНК^{Phe}, так и в процессе биосинтеза диаденоциниолигофосфатов. Показано низкое сродство АР₄А и АР₃А ($K_i = 3,7$ мМ для обоих соединений) к триптофанил-тРНК-синтетазе из поджелудочной железы быка [17]. Это исключает предположение о регуляторной активности АР₄А и АР₃А в отношении фенилаланил-тРНК-синтетазы в системе биосинтеза белка и о роли этого фермента как АР₄А-связывающего белка.

Экспериментальная часть

В работе использовали АТР, АДР, АМР, *L*-фенилаланил (Reanal, ВНР), *L*-[¹⁴C]фенилаланин (230 Кн/моль), [U -¹⁴C]АТР (500 Кн/моль, UVVVR, ЧССР), [³²P]Na₂P₂O₇ (1000 Кн/моль; Изотоп, СССР), ZnCl₂ (Sigma, США), Ar₃A и Ar₄A (P. L. Biochemical, США). Препараты фосфонатных аналогов Ar₄A (соединения (Ia)–(Ig)) получены от Н. Б. Тарусовой (ИМБ АН СССР).

Система для ТСХ: диоксан – конц. NH₄OH – вода (6 : 1 : 4). Белок определяли по методике Брэдфорда [18].

Препарат суммарной тРНК из *E. coli* MRE-600 получали согласно работе [19]. Гомогенный, по данным электрофореза в поликариламидном геле, препарат фенилаланил-тРНК-синтетазы из *E. coli* MRE-600 получен как описано ранее [20].

Активность фенилаланил-тРНК-синтетазы в реакции обмена AT₁ – [³²P]PP_i определяли при 37°С согласно методике [20]. Реакционная смесь объемом 0,2 мл содержала 0,5 мМ *L*-фенилаланин, 50 мМ трис-HCl (рН 8,0), 10 мМ MgCl₂, 1 мМ [³²P]Na₂P₂O₇, 5 или 0,5 мМ АТР и фермент (5 мкг/мл). При оценке степени пыгнирования пирофосфатного обмена аналогами Ar₄A их концентрацию варьировали в диапазоне 0,5–1 мМ. Реакцию аминоацилирования тРНК^{Phc} проводили при 37°С согласно работе [20]. Реакционная смесь объемом 0,2 мл содержала 0,01 мМ *L*-[¹⁴C]фенилаланин, 50 мМ трис-HCl (рН 8,0), 2,5 мМ MgCl₂, 10 мМ KCl, 0,5 мМ АТР, 2 мг/мл суммарной тРНК и фермент (0,5 мкг/мл).

При анализе в тех же условиях [20], но в отсутствие АТР в реакционной смеси, субстратных свойств Ar₃A и Ar₄A в реакциях активации *L*-фенилаланина и аминоацилирования тРНК^{Phc} их концентрацию варьировали в диапазоне 0,5–1 мМ.

Ферментативный синтез Ar₃A и Ar₄A проводили в условиях, аналогичных описанным в работе [15]. Реакционная смесь объемом 0,05 мл содержала 20 мМ трис-HCl (рН 7,8), 7 мМ MgCl₂, 0,45 М KCl, 2 мМ [U -¹⁴C]АТР, 2 мМ *L*-фенилаланин, 0,2 мМ ZnCl₂, 0,01 мг/мл дрожжевой пирофосфатазы (Boehringer, ФРГ) и фермент (1 мкг/мл). Инкубацию осуществляли при 37°С в течение 180 мин. Нуклеотиды, образующиеся в процессе реакции, анализировали при помощи ТСХ на пластинках Kieselgel 60F₂₅₄ (Merck, ФРГ) после нанесения в точку 5 мкл инкубационной смеси. Зоны нуклеотидов, идентифицированные по УФ, вырезали и просматривали радиоактивность на стандартных (1×2 см) мишениях в толуольном сцинтилляторе на спектрометре SL-30 (Intertechnique, Франция). Для экспресс-анализа радиохроматограмм использовали многопроволочную пропорциональную камеру, сопряженную с ЭВМ СМ-4 (СССР) и графопостроителем [21].

Авторы выражают глубокую признательность Н. Б. Тарусовой за любезно предоставленные препараты фосфонатных аналогов Ar₄A, В. Н. Анкиловой за предоставление препарата фермента, А. А. Черному за экспресс-анализ радиохроматограмм и Р. М. Хомутову за интерес к работе и ее обсуждение.

ЛИТЕРАТУРА

1. Goerlich O., Foeckler R., Holler E. // Eur. J. Biochem. 1982. V. 126. № 1. P. 135–142.
2. Blanquet S., Plateau P., Brevet A. // Mol. and Cell. Biochem. 1983. V. 52. P. 3–11.
3. Zamecnik P. // Anal. Biochem. 1983. V. 134. № 1. P. 1–10.
4. Rapaport E., Zamecnik P. // Proc. Nat. Acad. Sci. USA. 1976. V. 73. № 11. P. 3984–3988.
5. Weinmann-Dorsch C., Hedl A., Grummt I., Albert W., Ferdinand E. I., Friis R., Pierrou C., Moll W., Grummt F. // Eur. J. Biochem. 1984. V. 138. № 1. P. 179–185.
6. Zourguit L., Tharaud D., Solari A., Litvak S., Tarrago-Litvak L. // Biochim. et biophys. acta. 1986. V. 866. № 4. P. 222–232.
7. Lee P., Bochner B. R., Ames B. // Proc. Nat. Acad. Sci. USA. 1983. V. 80. № 4. P. 7496–7500.
8. Denisenko O. N. // FEBS Lett. 1984. V. 178. № 1. P. 149–152.
9. Hilderman R. H. // Biochemistry. 1983. V. 22. № 19. P. 4353–4357.
10. Plateau P., Fromant M., Brevet A., Gesquiere A., Blanquet S. // Biochemistry. 1985.. V. 24. № 4. P. 914–922.
11. Grummt F., Weinmann-Dorsch C., Meinecke M. // Hoppe-Seyler's Z. Physiol. Chem. 1984. Bd 365. S. 597–611.
12. Тарусова Н. Б., Шумяццева В. В., Крылов А. С., Карпейский М. Я., Хомутов Р. М. // Биоорган. химия. 1983. Т. 9. № 6. С. 838–843.
13. Тарусова Н. Б., Завгородний С. Г., Осипова Т. И. // Биоорган. химия. 1985. Т. 11. № 6. С. 802–807.
14. Zamecnik P., Stephenson M., Janeway C., Kanderath K. // Biochem. and Biophys. Res. Communs. 1966. V. 24. № 1. P. 91–97.
15. Plateau P., Mayaux J.-F., Blanquet S. // Biochemistry. 1981. V. 20. № 16. P. 4654–4662.
16. Rapaport E., Yogeswaran C., Zamecnik P., Remy P. // J. Biol. Chem. 1985. V. 260. № 17. P. 9509–9512.
17. Ковалева Г. К., Меркулова Т. И., Нурбеков М. К. // Молекуляр. биология. 1986. Т. 20. № 2. С. 558–563.
18. Bradford M. // Anal. Biochem. 1976. V. 72. № 1–2. P. 248–254.
19. Сандахчиев Л. С., Старостина Б. К., Стефанович Л. Е.; Чучаев В. Н. // Молекуляр. биология. 1967. Т. 1. № 4. С. 463.

20. Аниколова В. Н., Лаврик О. И., Ходырева С. Н. // Прикл. биохимия и микробиол.. 1984. Т. 20, № 2. С. 208–216.
21. Заневский Ю. В. и соавт. Препринт ОИЯИ 18-23-5. Дубна, 1983.

Поступила в редакцию
9.XII.1986
После доработки
4.II.1987

THE INFLUENCE OF DIADENOSINE OLIGOPHOSPHATES (Ap_4A AND
 Ap_3A) AND THEIR ANALOGUES ON THE CATALYTIC FUNCTIONS
OF PHENYLALANYL-tRNA SYNTHETASE FROM *E. coli* MRE-600

BIRYUKOV A. I., ZAKHAROVA O. D.*; LAVRIK O. I.*

Institute of Molecular Biology, Academy of Sciences of the USSR, Moscow;
* *Novosibirsk Institute of Bioorganic Chemistry, Siberian Branch,
Academy of Sciences of the USSR*

The influence of P^1,P^3 -bis(5'-adenosyl)triphosphate (Ap_3A), P^1,P^4 -bis(5'-adenosyl)tetraphosphate (Ap_4A) and its analogues, containing a residue of methylenediphosphonic acid in various positions of the oligophosphate chain, on the reactions catalysed by phenylalanyl-tRNA synthetase from *E. coli* MRE-600 has been studied. The compounds do not affect significantly the rate of ATP-[^{32}P]PP_i-exchange nor maintain this reaction in the absence of ATP. The diadenosineoligophosphates are shown to be noncompetitive inhibitors of ATP in the tRNA aminoacylation by phenylalanine (for Ap_4A $K_1=1,45 \cdot 10^{-3}$ M). The phosphonate analogues of Ap_3A inhibit the synthesis of Ap_3A depending on their structure. The conclusion is thus drawn that the *E. coli* MRE-600 phenylalanyl-tRNA synthetase does not interact properly with Ap_4A and its phosphonate analogues.